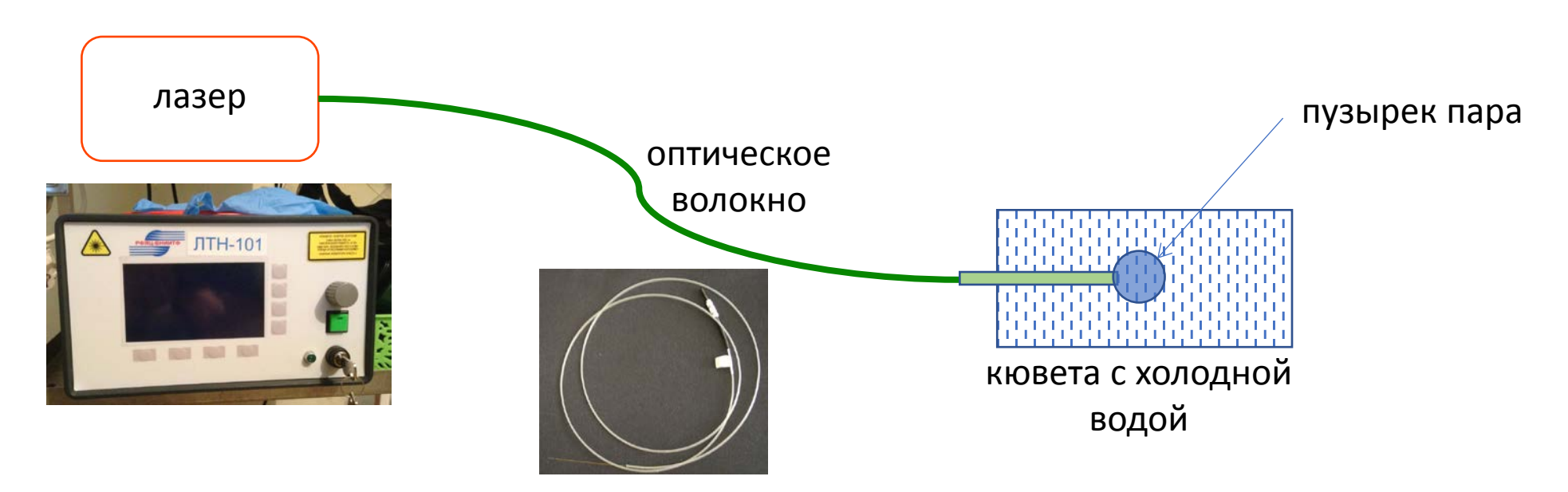
Выявление физических механизмов термокавитации вблизи оптического волокна с помощью методов численного моделирования

Фурсенко Р.В., Косяков В.А.

Институт теоретической и прикладной механики им. С.А. Христиановича СО РАН

Физический процесс



Характерные значения:

Мощность лазера — Длина волны излучения — Радиус волновода — Размер пузырьков — Давление — Скорость струи —

3,...,10 BT 0.97, 1.47 MKM 300 MKM 300,...,2000 MKM 4,...,10 aTM; 10,...,100 M/c

Физический процесс



Мощность -	6 Вт
Длина волны -	1.47
мкм	
Радиус волновода -	300 мкм
Радиус пузыря -	
2000 мкм	

- скорости струи (~10 м/с)
- повышенная температура струи (~40-60 С)
- перепады давления (~3 atm)

Видео: В.М. Чудновский и др.

Приложения в медицине

лечение кист, варикоза, иссечение тканей, лечение ран, ...



Лазерный кавитатор

- 1. Физиологический раствор
- 2. Система для инфузии растворов
- 3. Оптическое волокно кварц-кварц вторичное покрытие полиамид, диаметр 600 мкм
- 4. Лазерный аппарат излучение 1.91 мкм, мощность 30 Вт
 - 5. Стерильные силиконовые трубки

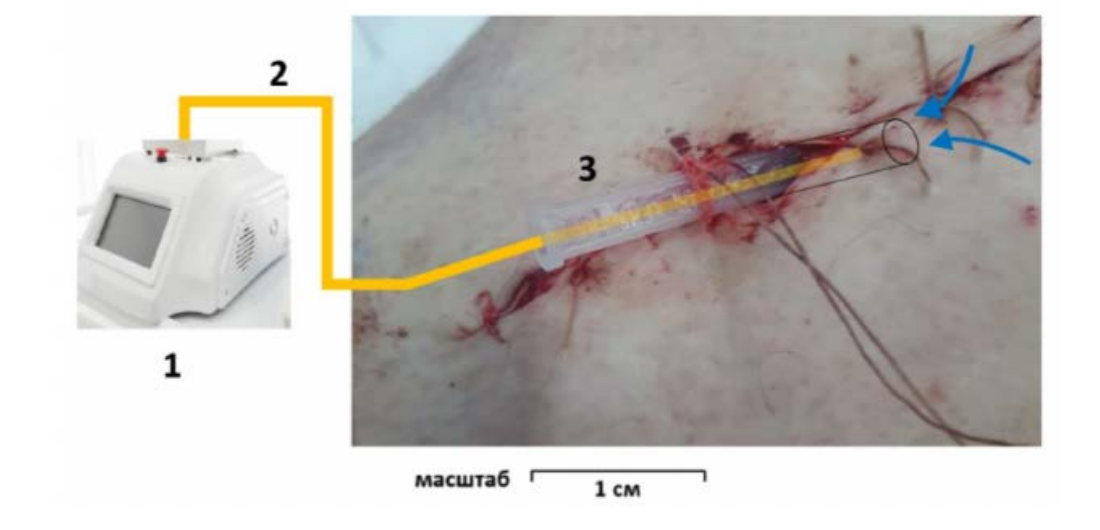


Схема очистки гнойной раны с использованием явления лазерной кавитации в трубке, размещённой в полость, заполненной физиологическим раствором. 1- медицинский лазер, 2- оптоволокно, 3- трубка с вставленным оптоволокном.

Абушкин И.А., Чудновский В.А. Гузев М.А., Анчугова А.Е. Лазерная кавитация инфицированных и хронических ран

Вопросы

Механизмы образования струи?

Причины повышенной температуры струи?

Механизмы влияния стенок на характеристики струи?



Механизмы формирования струи. Причина

коллапса

В предыдущих исследованиях уменьшение объема пузырька связывали в основном с конденсацией п вследствие охлаждения жидкостью, окружающей пузырь.

В связи с чем в численном моделировании использовали несжимаемые математические модели, что давало хорошее качественное согласие с экспериментальными данными

Конденсация не является единственным возможным объяснением, межфазное давление так же может влиять на схлопывание пузыря и как следствие на формирование струи. Таким образом вопрос о механизмах отвечающих за формирование струи остается открытым.

- Zhong X., et al, International Journal of Multiphase Flow, 2020. 132(10):103433
- Chudnovskii V., et al, International Journal of Heat and Mass Transfer, 2020. 150:119286
- Fursenko R., et al, International Journal of Heat and Mass Transfer, 2020. 163(10):120420
- Zhang J., et al, Journal of Hydrodynamics. 2022. 34(4):1-11

Постановка задачи

Уравнения для объемной доли

$$\frac{\partial \rho_l \alpha_l}{\partial t} + \nabla (\rho_l \alpha_l \vec{U}) = 0, \qquad \frac{\partial \rho_g \alpha_g}{\partial t} + \nabla (\rho_g \alpha_g \vec{U}) = \dot{m}$$

$$\rho = \rho_l \alpha_l + \rho_g \alpha_g, \qquad \alpha_l + \alpha_g = 1$$

Уравнение сохранения импульса

$$\frac{\partial \rho \vec{U}}{\partial t} + \nabla \left(\rho \vec{U} \vec{U}\right) = -\nabla p + \nabla \left[\mu \left(\nabla \vec{U} + \left(\nabla \vec{U}\right)^T\right) - \frac{2}{3} \left(\nabla \vec{U}\right)I\right]$$

Уравнения состояния

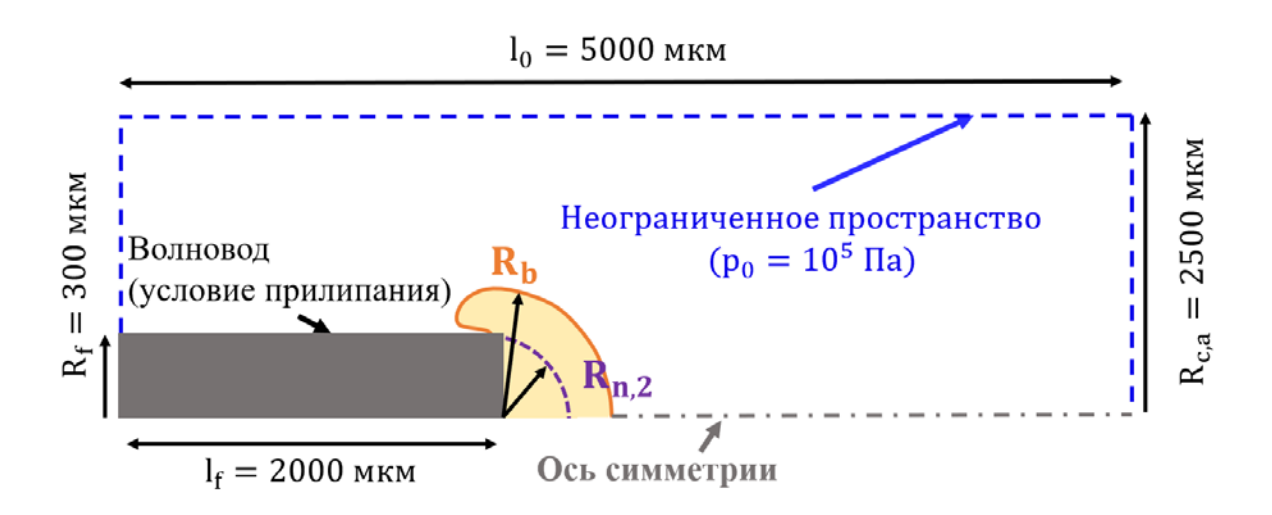
$$ho_g =
ho_{g,0} \left(rac{p_g}{p_{g,0}}
ight)^{1/\gamma_g}$$
 , $ho_l = const$

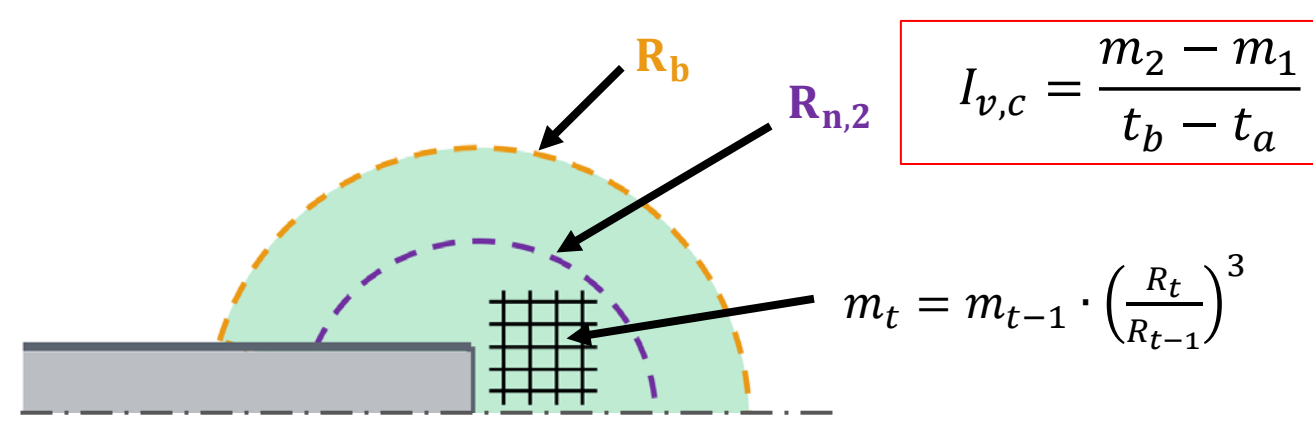
Модель испарения/конденсации

$$R_n(t) = \begin{cases} R_{n,1}, & t < t_a \\ (t - t_a) \cdot \frac{R_{n,2} - R_{n,1}}{t_b - t_a} + R_{n,1}, & t_a \le t < t_b \\ R_{n,2}, & t \ge t_b \end{cases}$$

$$m_{0,new} = m_0 \left(\frac{R_n(t)}{R}\right)^3$$
, $\rho_{g,new}(x,t) = \frac{m_{0,new}}{m(t)} \rho_g(x,t)$

OpenFOAM, Метод объема жидкости (VoF), решатель compressibleInterFoam с модификацией

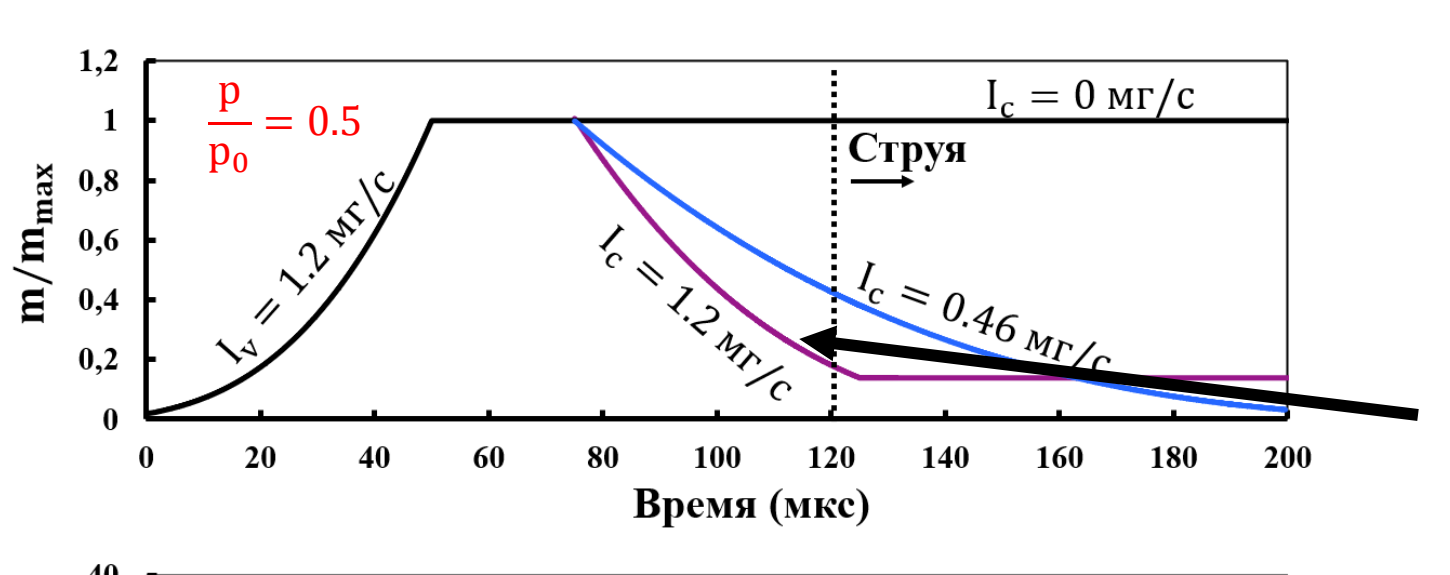


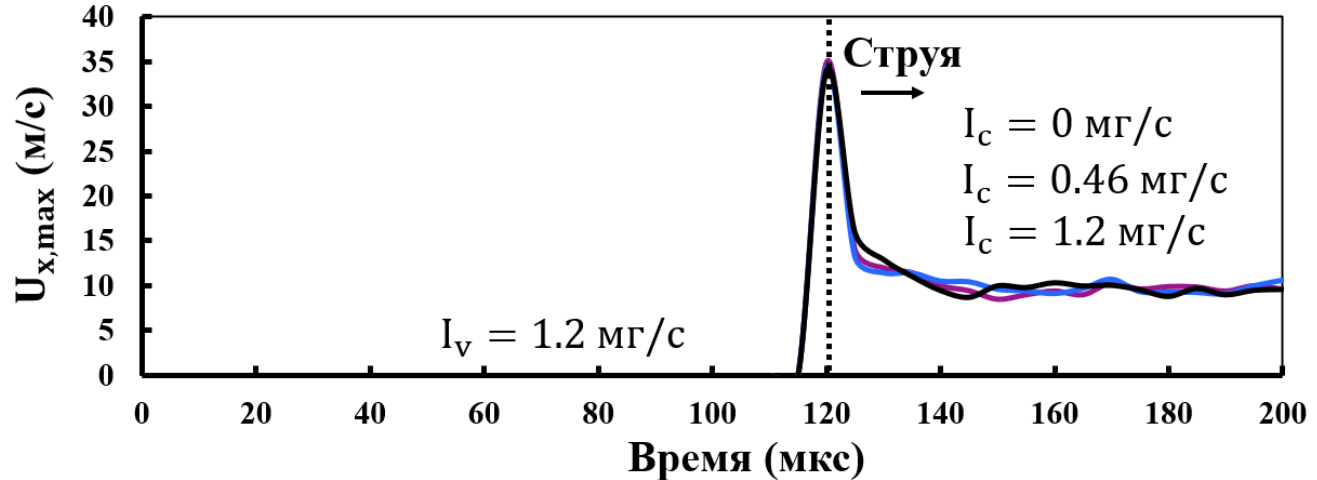


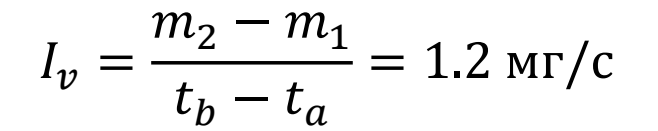
M. Koch, J. Rosselló, C. Lechner, W. Lauterborn, R. Mettin, Dynamics of a laser-induced bubble above the flat top of a solid cylinder—mushroom-shaped bubbles and the fast jet, Fluids 7 (2021) 2. doi:10.3390/fluids7010002.

Квадратная сетка со стороной 2 мкм, Адаптивный шаг по времени Δt_{min} =1e-11 с

Интенсивность испарения (высокая)

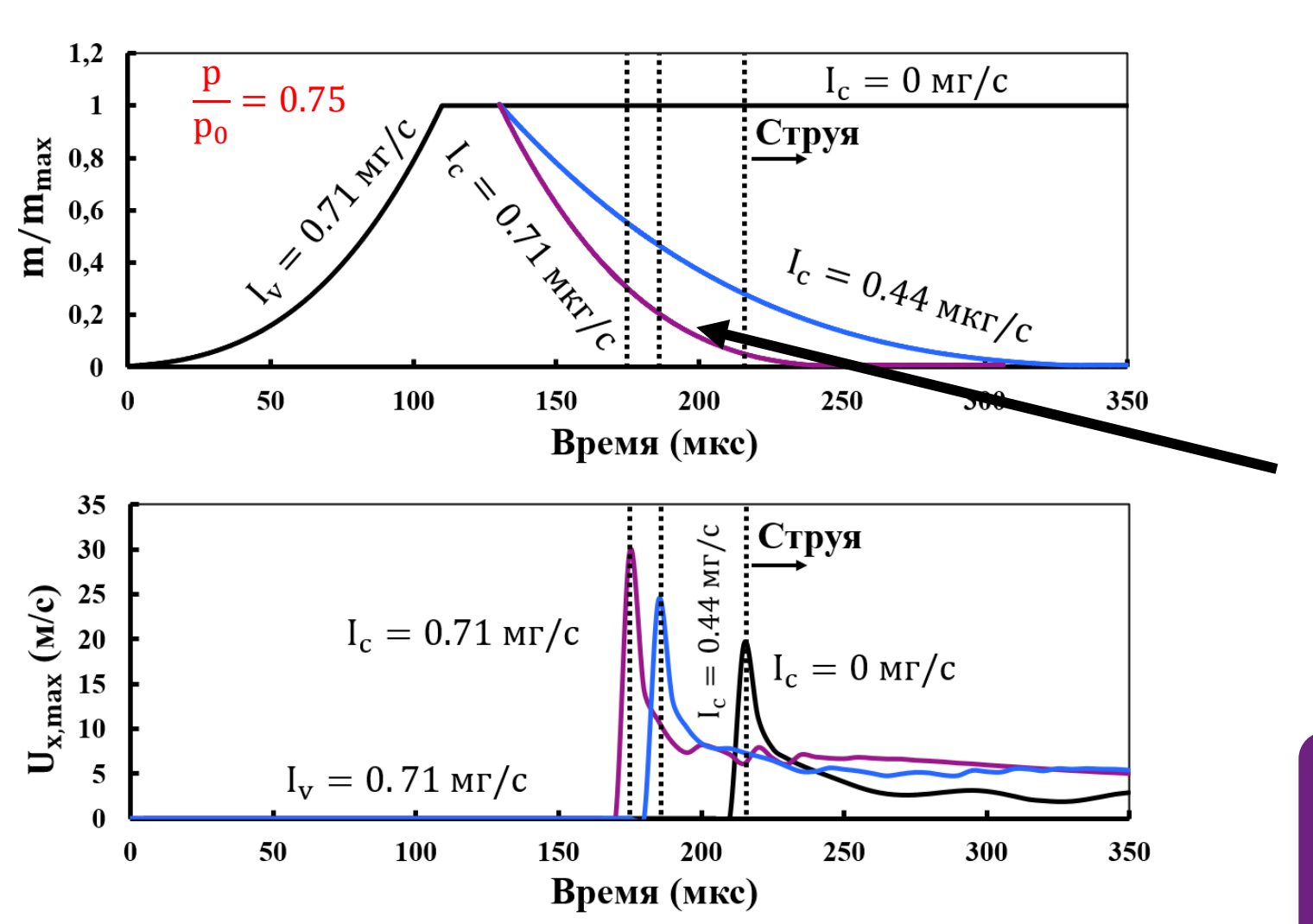






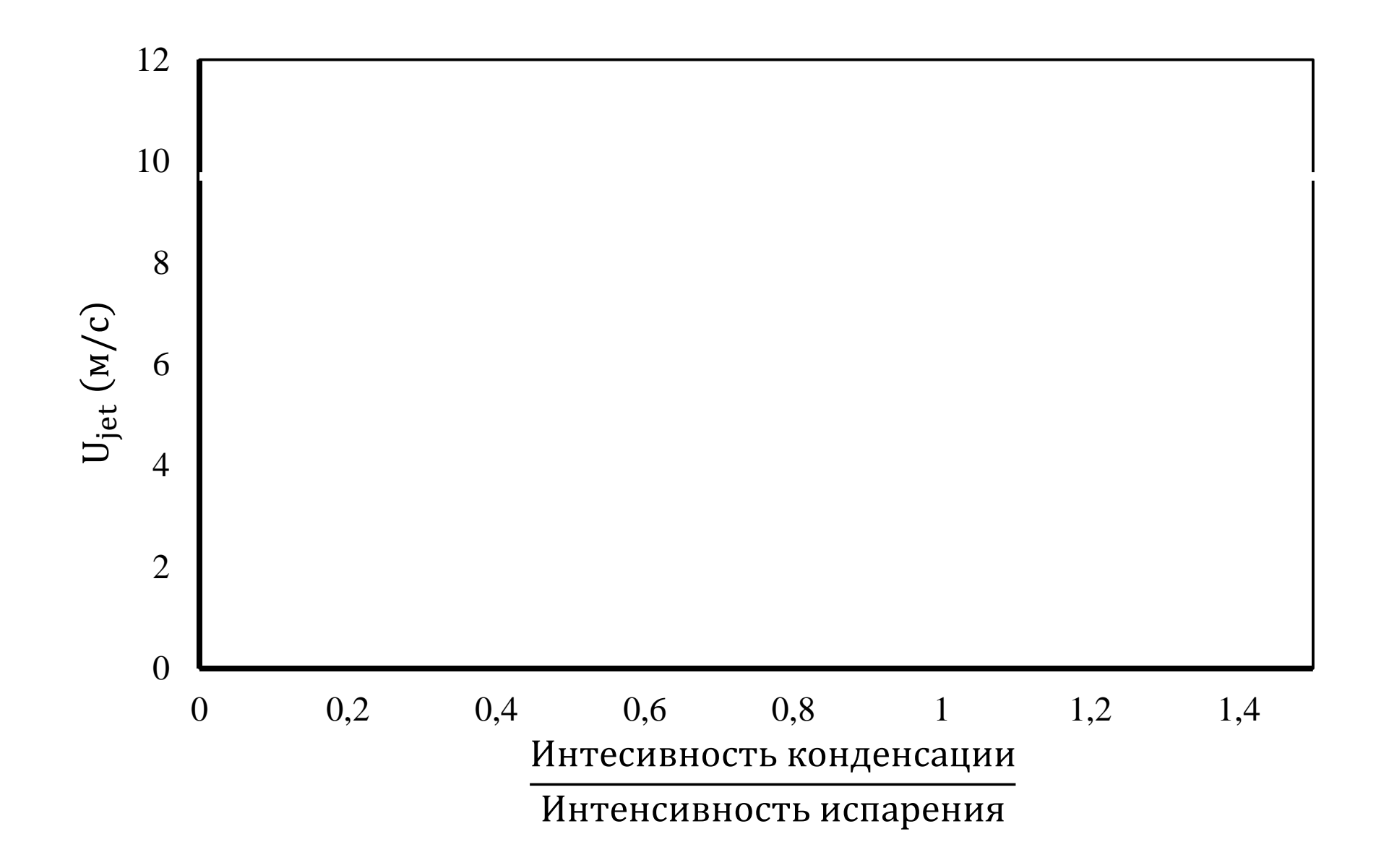
Формирование струи происходит независимо от интенсивности конденсации. Определяющим процессом для появления струи и ее динамики является перепад давления.

Интенсивность испарения (средняя)

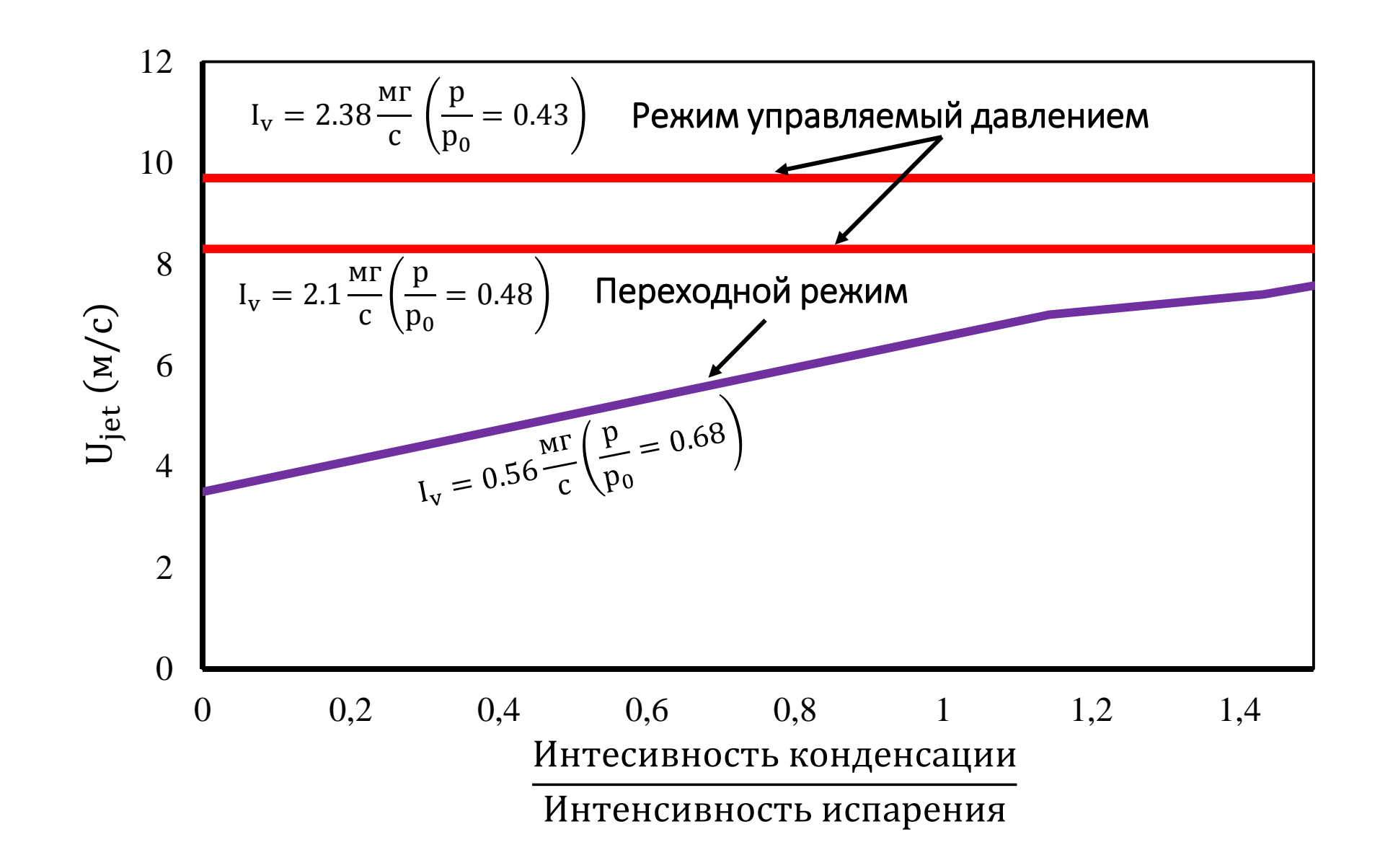


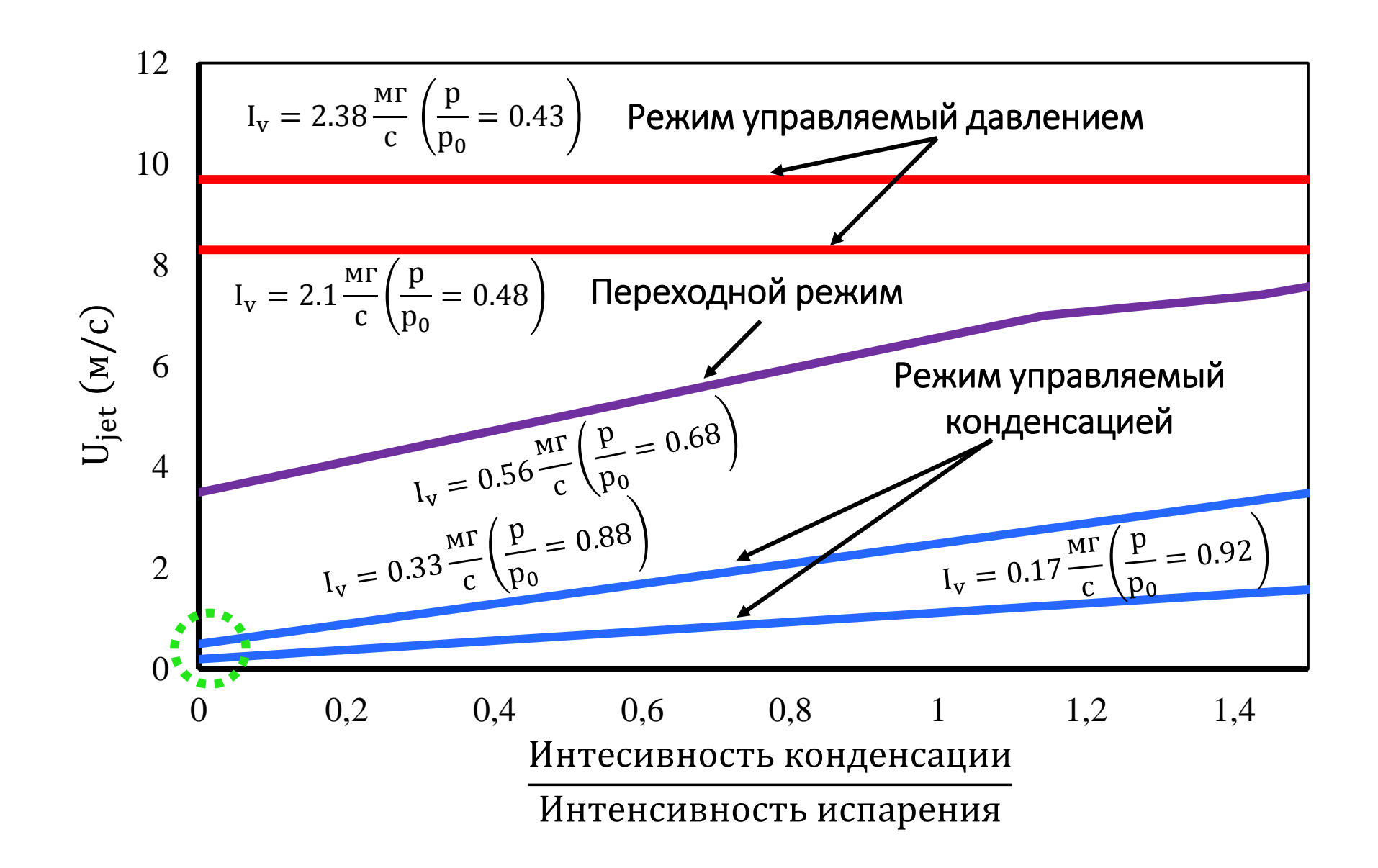
$$I_v = \frac{m_2 - m_1}{t_b - t_a} = 0.71 \text{ M}\Gamma/\text{c}$$

Конденсация увеличивает скорость струи, а также в некоторых случаях может уменьшать время за которое пузырь коллапсирует.

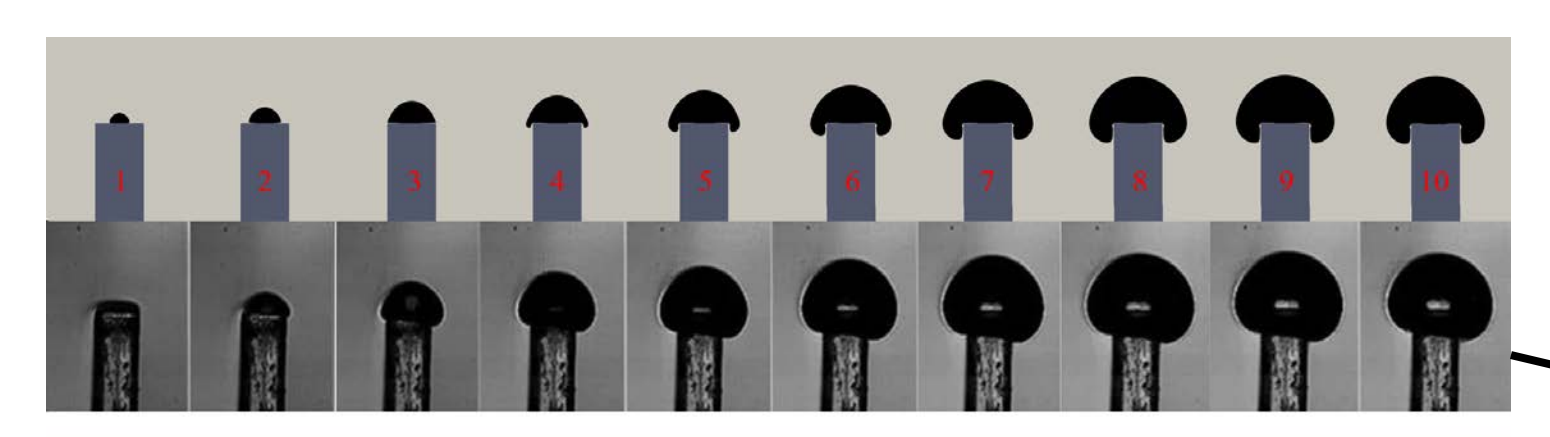


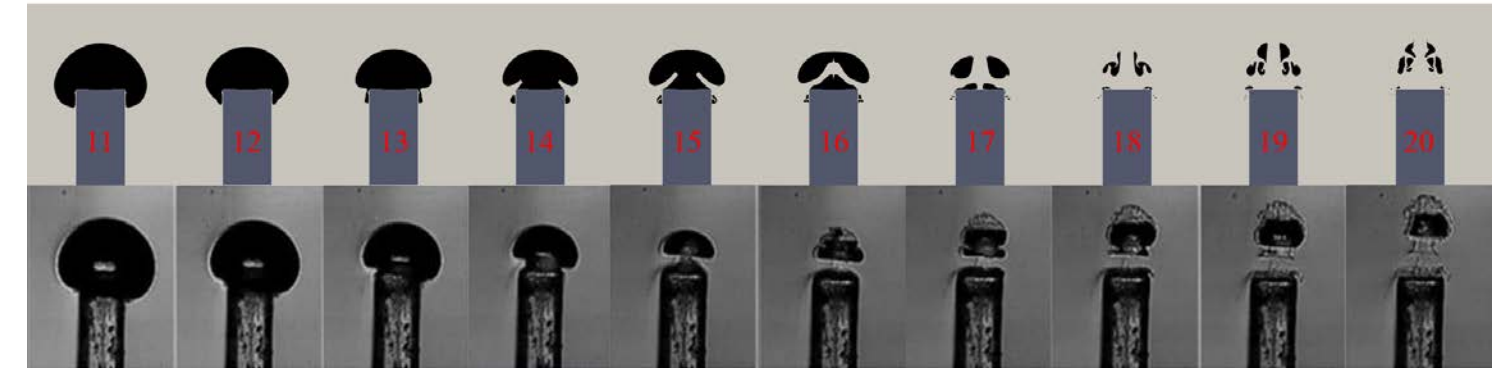






Сравнение с экспериментом

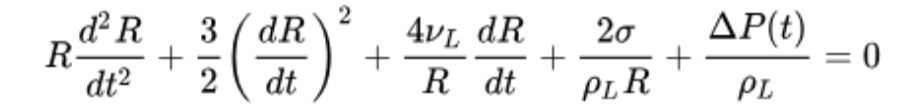




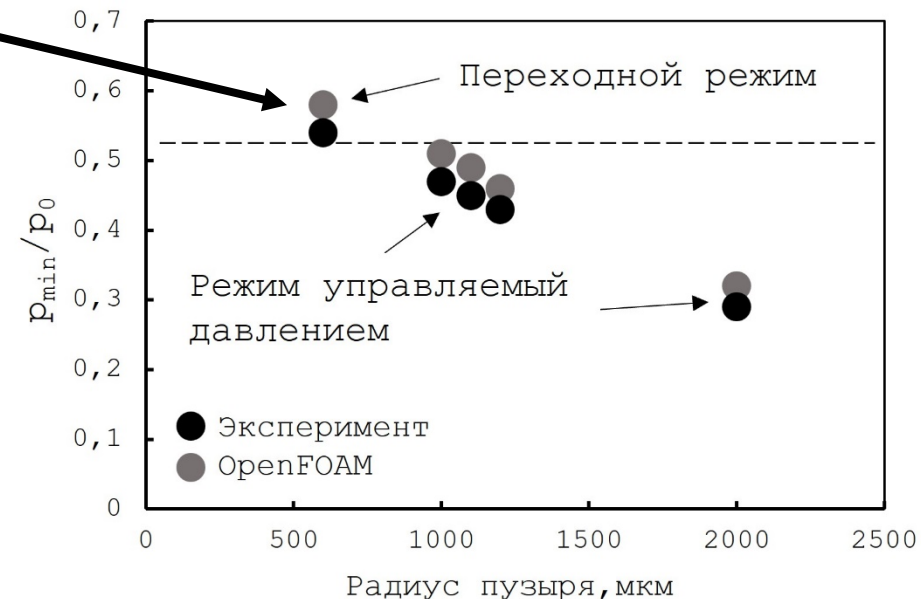
 Δ =16.67 MKC;

Различие объема при максимальном расширении < 5%; Скорость струи:

Эксп. - 10 м/с; Расчет - 12.5 м/с



Эксперимент $\rightarrow R(t), \dot{R}(t), \ddot{R}(t) \rightarrow$ \rightarrow Rayleigh-Plesset Equation \rightarrow \rightarrow Давление внутри пузырька



Основные результаты

- В зависимости от интенсивности испарения возможна реализация одного из трех режимов лазерно-индуцированного недогретого кипения
 - Режим обусловленный давлением
 - ❖ Переходной режим
 - Режим обусловленный конденсацией
- Динамика пузыря на стадии роста определяет поведение пузыря на стадии схлопывания и какой режим в итоге реализуется
- Даркватное описание режима, обусловленного давлением, требует учета сжимаемости газа, тогда как часть переходного режима и режима, обусловленного конденсацией, может быть описана в рамках моделей несжимаемого газа

Причины повышенной температуры струи

В последние годы увеличился интерес к использованию таких струй в различных медицинских приложениях: проведение хирургических операций, перфорация, санация и нагрев биологических тканей.

В эксперименте довольно трудно определить, каковы тепловые характеристики струи, на всем этапе ее существования.

Не было до конца ясно, почему при недогретом кипении образующаяся струя обладает повышенной температурой.

[•] Chudnovskii V., et al, Sovr Tehn v med. 2016. 8(2): 6-13.

[•] Chudnovskii V., et al, Acoust Soc Am. 2023. Mar;153(3):1525.

Постановка задачи

Уравнения для объемной доли

$$\frac{\partial \rho_l \alpha_l}{\partial t} + \nabla \left(\rho_l \alpha_l \vec{U} \right) = \dot{m}_l, \qquad \frac{\partial \rho_g \alpha_g}{\partial t} + \nabla \left(\rho_g \alpha_g \vec{U} \right) = \dot{m}_g$$

$$\rho = \rho_l \alpha_l + \rho_g \alpha_g, \qquad a_l + a_g = 1$$

Уравнение сохранения импульса

$$\frac{\partial \rho \vec{U}}{\partial t} + \nabla \left(\rho \vec{U} \vec{U}\right) = -\nabla p + \nabla \left[\mu \left(\nabla \vec{U} + \left(\nabla \vec{U}\right)^T\right) - \frac{2}{3} \left(\nabla \vec{U}\right)I\right]$$

Уравнение энергии

$$\frac{\partial \rho E}{\partial t} + \nabla \left(\vec{U}(\rho E + p) \right) = \nabla (k \nabla T) + S_h$$

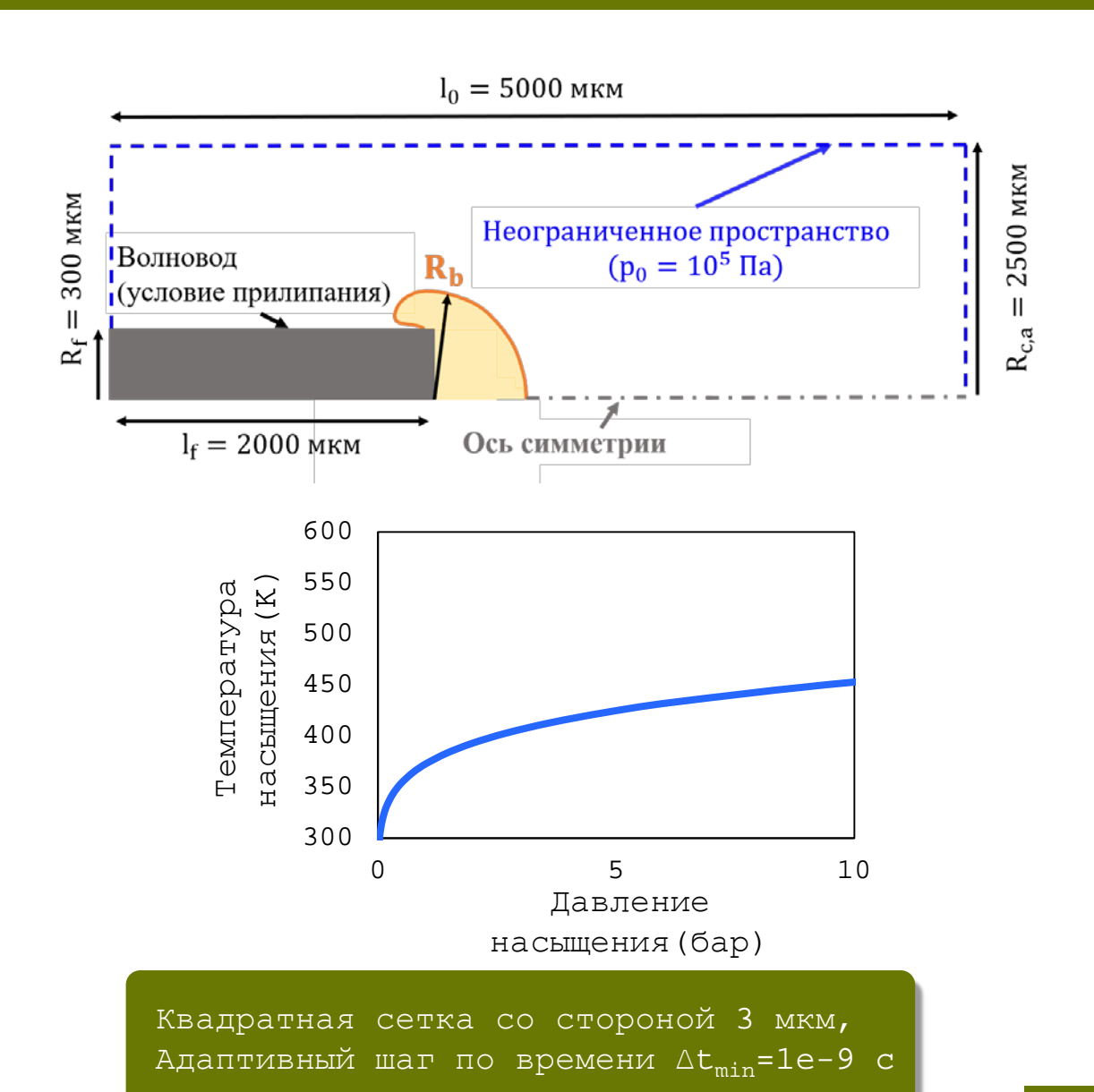
Уравнения состояния

$$\rho_a = p/RT$$
, $\rho_l = const$

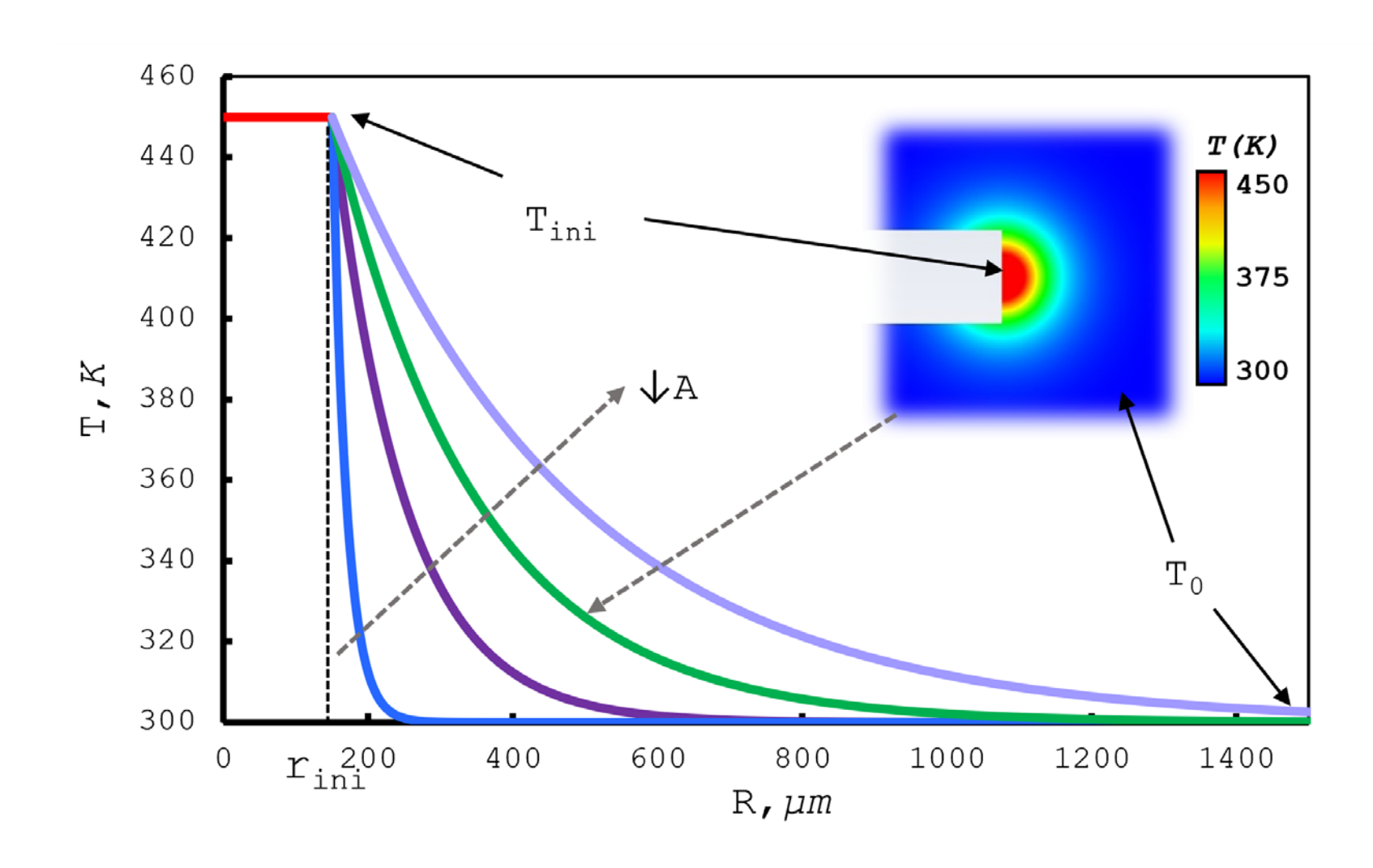
Модель испарения/конденсации (Lee)

$$\dot{m}_{l,g} = coeff \cdot \left(\rho_{l,g} \alpha_{l,g} \frac{T - T_{sat}}{T_{sat}} \right)$$

Fluent, Метод объема жидкости (VoF), Model Lee

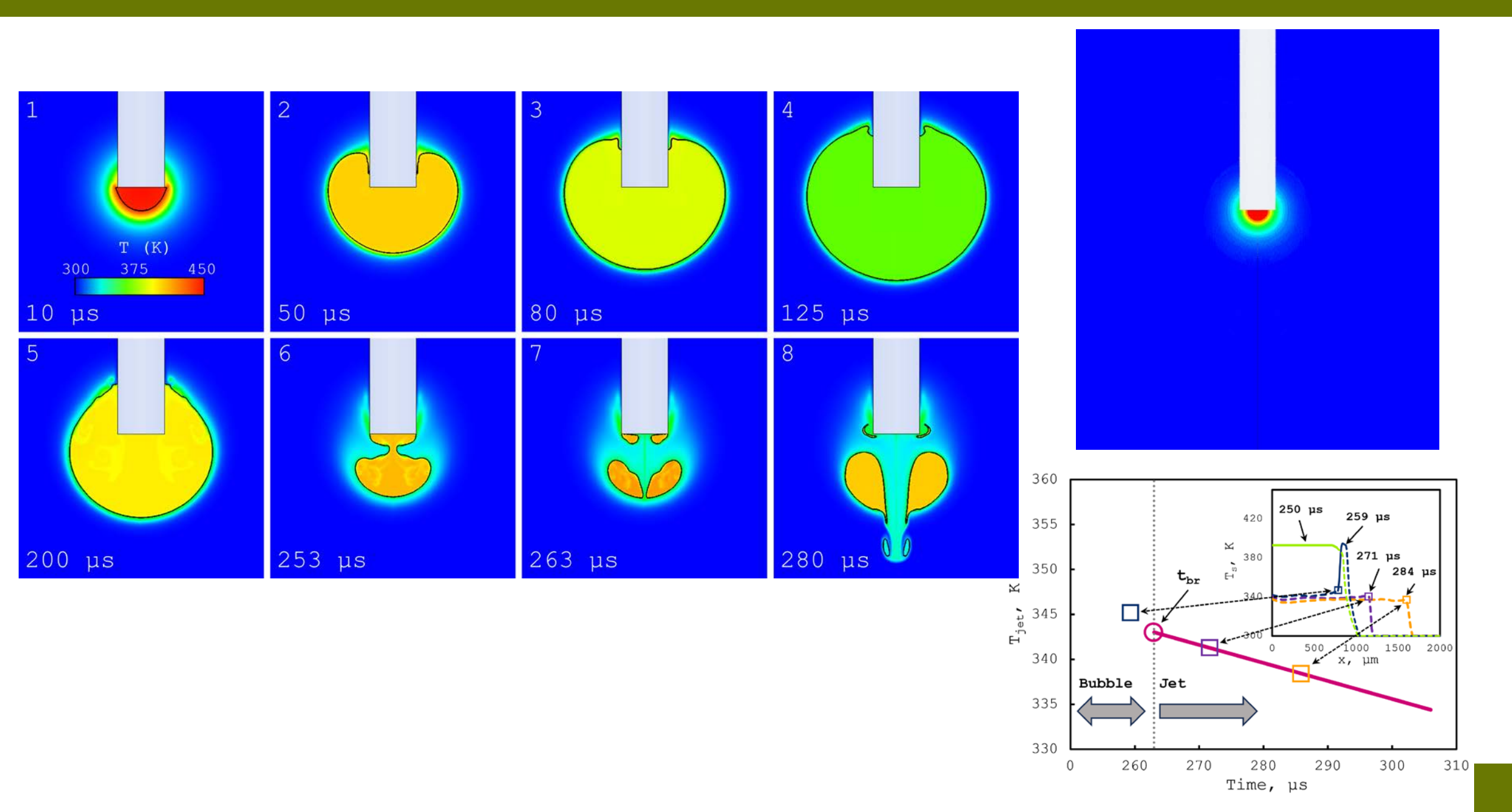


Начальное распределение температуры

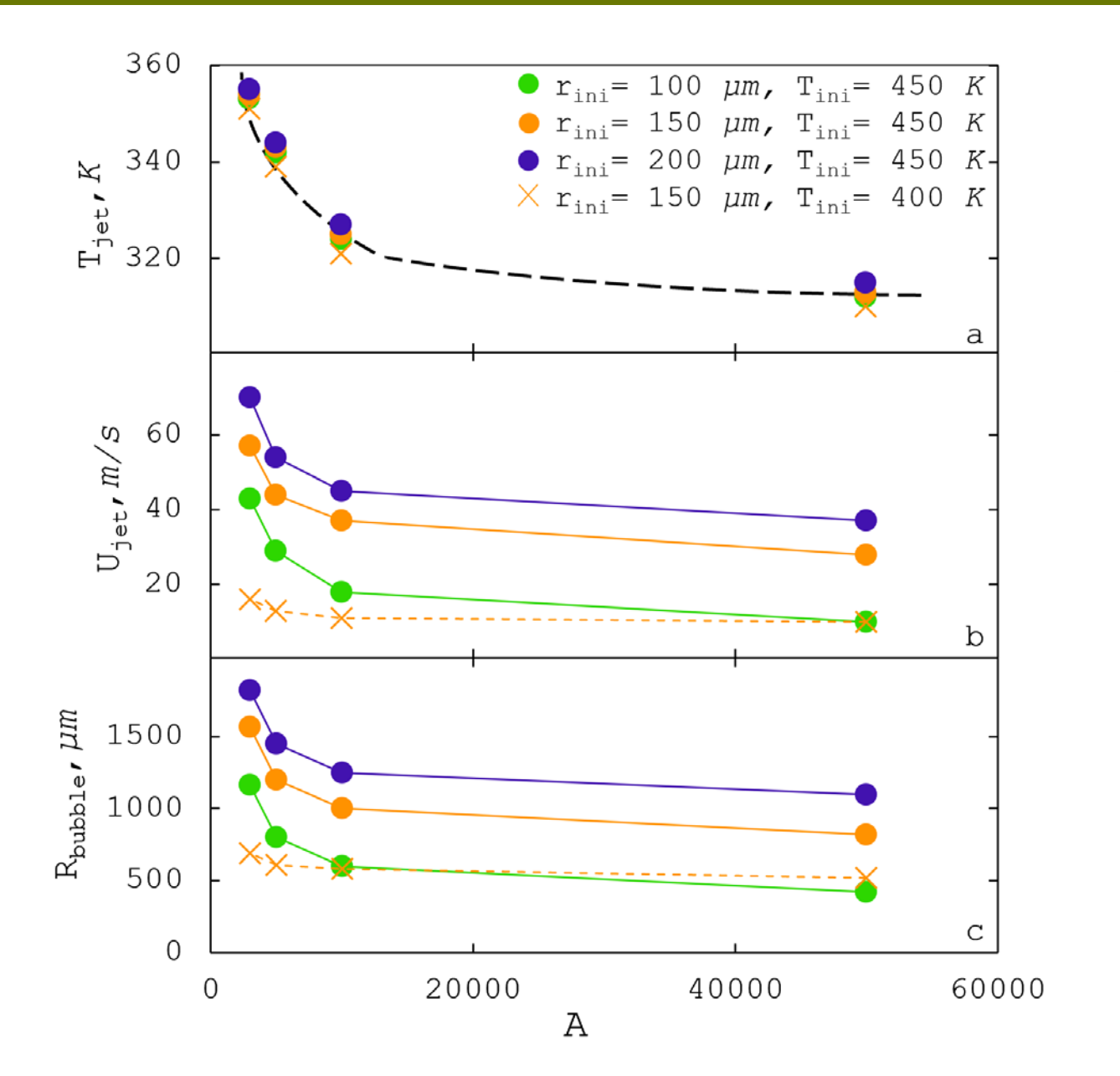


$$T = T_0 + (T_{ini} - T_0) \cdot \exp(-A \cdot (r - r_{ini}))$$

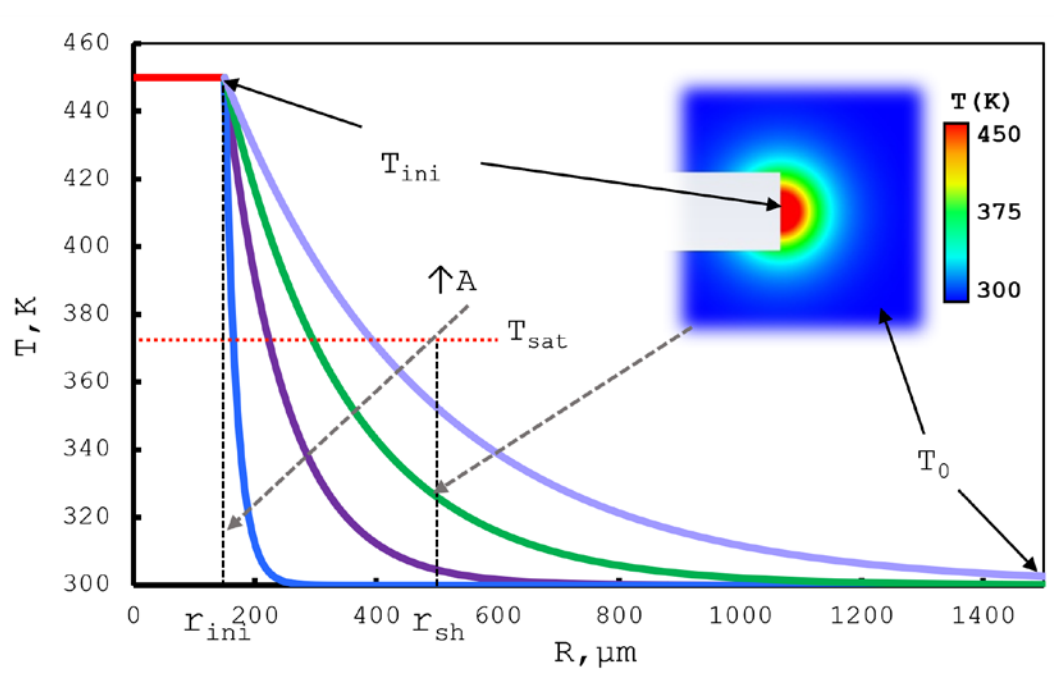
Механизм образования струи



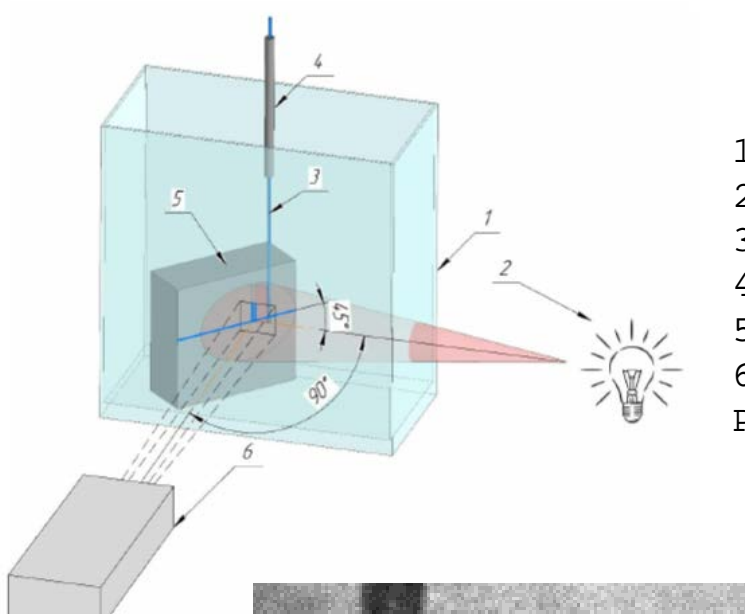
Параметрическое исследование



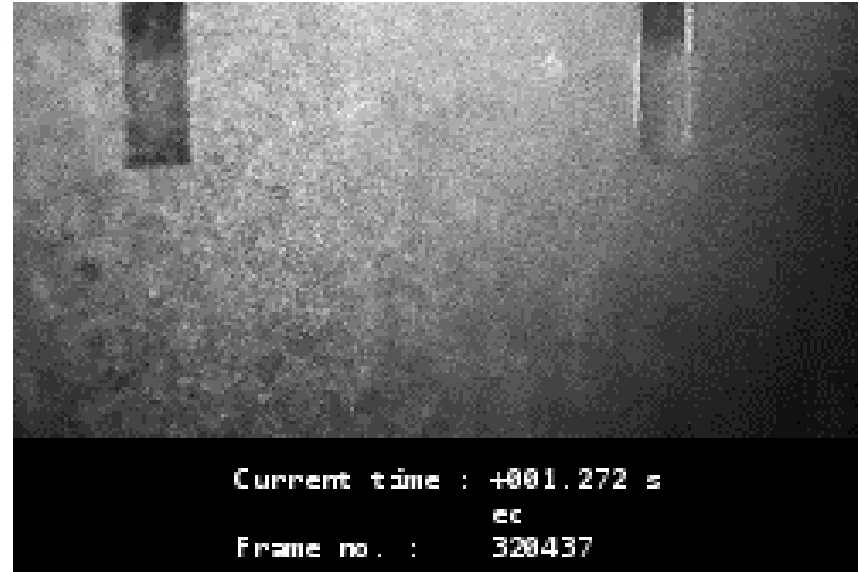
$$T = T_0 + (\boldsymbol{T_{ini}} - T_0) \cdot \exp(-\boldsymbol{A} \cdot (r - \boldsymbol{r_{ini}}))$$

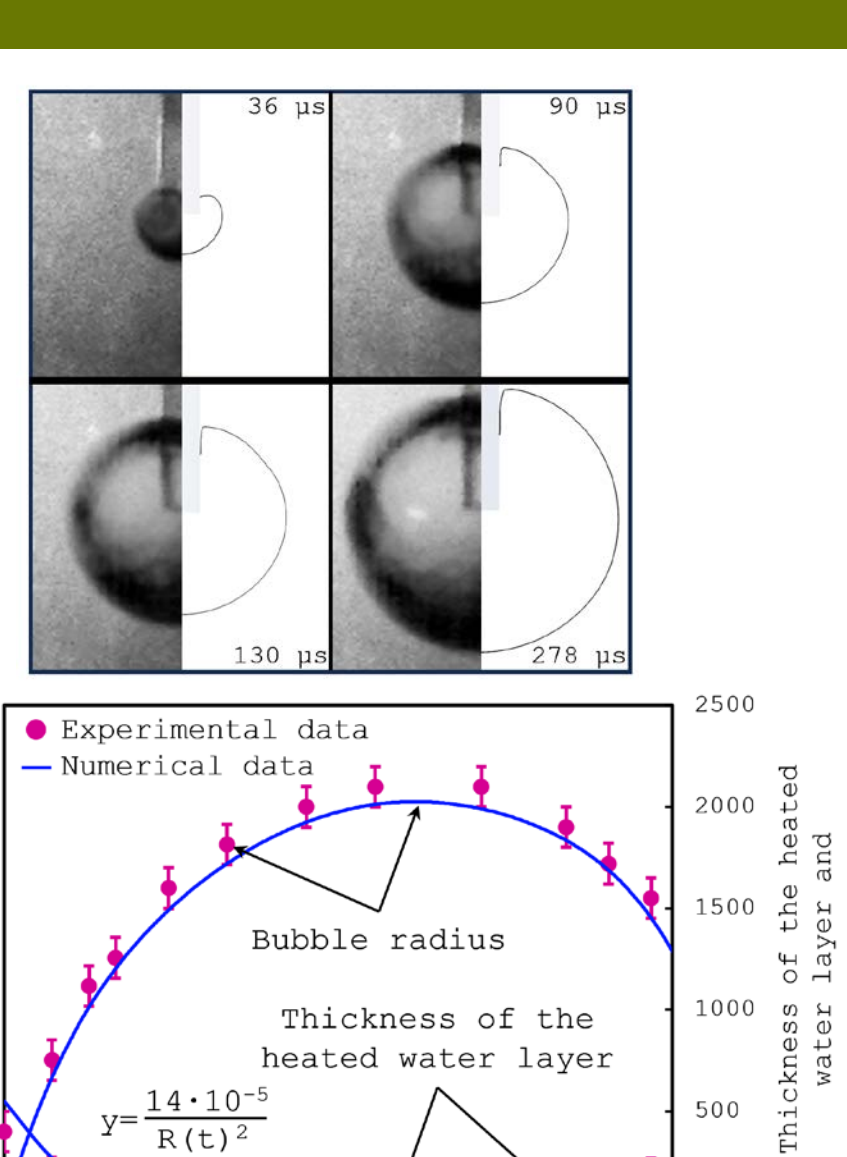


Сравнение с экспериментом



- 1- Кварциевая кювета,
- 2- точечный источник света,
- 3- оптоволокно,
- 4- направляющая оптоволокна,
- 5- экран,
- 6- высокоскоростная камера Photron Fastcam SA-Z.





200

Time, µs

100

300

400

T.P. Adamova, , et al, Tec Phys Lett, 2024, Vol. 48, No. 1. P. 16-18.

of the layer

500

500

Основные результаты

- □ Вода с температурой насыщения и выше т.е. перегретое ядро и часть области с градиентом температуры влияет на рост пузырька и как следствие на скорость струи. При чем варьирование размера и температуры этой области существенно влияет на итоговый размер пузырька и интенсивность струи, в то время как температура струи не претерпевает значительных изменений.
- □ При образовании пузырька пара вокруг него формируется слой из нагретой, но не испарившейся воды, который при образовании струи смешивается с окружающей водой и определяет итоговую температуру струи.